

**Cilc per tutti gli appunti** (AUTOMAZIONE – TRATTAMENTI TERMICI ACCIAIO – SCIENZA delle COSTRUZIONI...)



[e-mail per suggerimenti](#)

[Clic qui](#) – PRIMA PAGINA APPUNTI ACCIAIO

**e6- Verifica del ritto all'instabilità di presso flessione e torsione**

Normativa italiana NTC DM 2008  
Supplemento ordinario n 27- 2 febbraio 2009

Profilato HEA 140

$$h = 133 \text{ mm} = 13,3 \text{ cm}$$

$$b = 140 \text{ mm} = 14 \text{ cm}$$

$$t_f = 8,5 \text{ mm} = 0,85 \text{ cm}$$

$$t_w = 5,5 \text{ mm} = 0,55 \text{ cm}$$

$$A = 3142 \text{ mm}^2 = 31,42 \text{ cm}^2$$

$$h_w = 116 \text{ mm} = 11,6 \text{ cm}$$

$$G = 24,7 \text{ kg / m}$$

$$r = 12 \text{ mm} = 1,2 \text{ cm}$$

$$I_y = 1033 \text{ cm}^4$$

$$I_z = 389,3 \text{ cm}^4$$

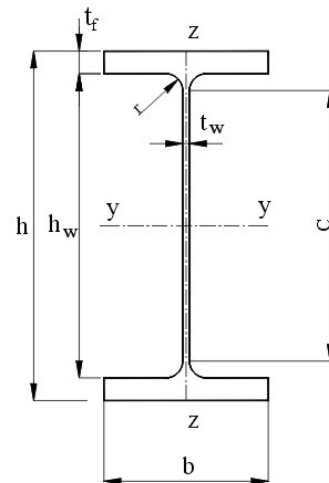
$$W_{pl,y} = 173,5 \text{ cm}^3$$

$$S_y = 86,7 \text{ cm}^3$$

$$W_{el,y} = 155,4 \text{ cm}^3$$

$$i_y = 5,73 \text{ cm}$$

$$i_z = 3,52 \text{ cm}$$



**Sollecitazioni di progetto sul ritto**

Sforzo normale di progetto

$$N_{Ed} = 71,34 \text{ kN}$$

Momento alla base A

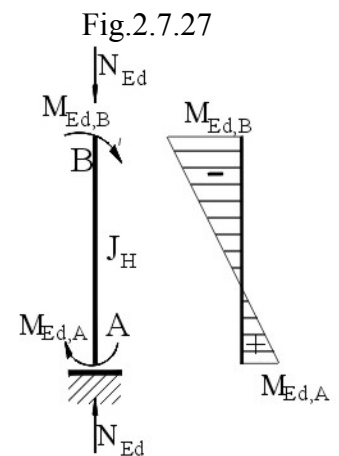
$$M_{Ed,A} = 1435,5 \text{ kN} \cdot \text{cm}$$

Momento all'estremità B

$$M_{Ed,B} = -2871 \text{ kN} \cdot \text{cm}$$

Si pone come momento di calcolo:

$$M_{Ed} = 2871 \text{ kN} \cdot \text{cm}^2$$



Per completezza, si esegue l'intero procedimento di verifica, ripercorrendo i calcoli già eseguiti nella precedente verifica con la normativa EC3

Nella verifica, con normativa NTC, si adotta il metodo B, cioè, per una migliore confrontabilità con i risultati ottenuti dalla verifica eseguita secondo le norme EC3.

**Condizioni di verifica**

La verifica di stabilità a presso fletto torsione si esegue controllando che siano soddisfatte le seguenti disuguaglianze:

$$\left\{ \begin{array}{l} \frac{N_{Ed}}{\chi_y \cdot \frac{A \cdot f_{yk}}{\gamma_{M1}}} + k_{yy} \frac{M_{y,Ed}}{\chi_{LT} \cdot \frac{W_y \cdot f_{yk}}{\gamma_{M1}}} \leq 1 \quad (a) \\ \frac{N_{Ed}}{\chi_z \cdot \frac{A \cdot f_{yk}}{\gamma_{M1}}} + k_{zy} \frac{M_{y,Ed}}{\chi_{LT} \cdot \frac{W_y \cdot f_{yk}}{\gamma_{M1}}} \leq 1 \quad (b) \end{array} \right. \quad (e6.1)$$

Nel calcolo di verifica vi è solamente il momento di progetto  $M_{y,Ed}$ ; è nullo  $M_{z,Ed}$ . Basterebbe quindi verificare che sia rispettata la disuguaglianza (b) essendo, nell'assetto in esame, la condizione più sfavorevole. Comunque per esercizio si verifica anche la disuguaglianza (a).

Per il calcolo di verifica si procede determinando in ordine:

- 1° i coefficienti di riduzione  $\chi_y, \chi_z$ ; e quindi, a priori, le snellezze adimensionali  $\bar{\lambda}_y, \bar{\lambda}_z$ ;
- 2° il coefficiente di riduzione  $\chi_{LT}$ ; e quindi, a priori, la snellezza adimensionale  $\lambda_{LT}$ ;
- 3° i coefficienti di interazione  $k_{yy}, k_{yz}$
- 4° la verifica secondo le espressioni (e6.1)

### Determinazione dei coefficienti di riduzione $\chi_y, \chi_z$

Occorre prima determinare le snellezze adimensionale  $\lambda_z, \bar{\lambda}_z, \lambda_y, \bar{\lambda}_y$

#### Snellezza $\lambda_z$

Si suppone che nel piano ortogonale a quello del telaio le estremità delle colonne si possano considerare vincolate con cerniere e la struttura opportunamente controventata. Si pone quindi

$$\beta = 1$$

$$\lambda_z = \frac{h}{i_z} \quad \lambda_z = \frac{300}{3,52}$$

$$\lambda_z = 85 \quad (e6.2)$$

#### Snellezza adimensionale $\bar{\lambda}_z$

$$\bar{\lambda}_z = \frac{\lambda_z}{\lambda_p} \quad \lambda_p = \pi \cdot \sqrt{\frac{E}{f_y}} \quad \lambda_p = \pi \cdot \sqrt{\frac{21000}{23,5}} = 94$$

$$\bar{\lambda}_z = \frac{85}{94} \quad (e6.3)$$

Snellezza  $\lambda_y$

$$\lambda_y = \beta \cdot \frac{h}{i_y} \quad (e6.4)$$

Coefficiente  $\beta$

Il coefficiente  $\beta$  che determina la lunghezza di libera inflessione della colonna,  $\beta \cdot h$ , dipende dalla rigidità della colonna e delle travi che si ramificano ai nodi di estremità di essa.

Il portale è simmetrico sia geometricamente sia rispetto ai carichi, non subisce spostamenti laterali. Si può considerare a nodi fissi.

Per una spiegazione più dettagliata del procedimento da eseguire per la determinazione di  $\beta$ , vedi la nota introdotta nella verifica precedente, eseguita con normativa EC3.

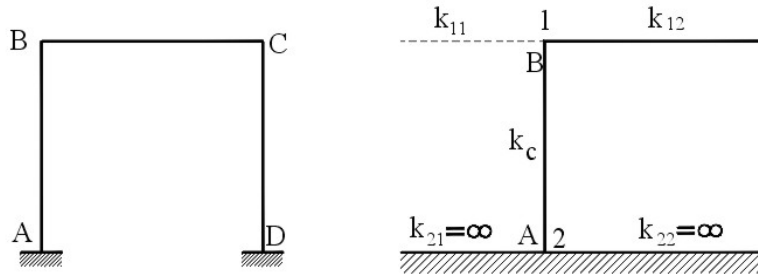
Per la determinazione di  $\beta$  si fa riferimento al modello teorico di fig.2.4 (Appendice E normativa EC3)

$$\eta_1 = \frac{k_c + k_1}{k_c + k_1 + k_{11} + k_{12}} \quad (e6.5)$$

$$\eta_2 = \frac{k_c + k_2}{k_c + k_2 + k_{21} + k_{22}} \quad (e6.6)$$

$$\beta = 0,5 + 0,14 \cdot (\eta_1 + \eta_2) + 0,055(\eta_1 + \eta_2)^2 \quad (e6.7)$$

Lo schema teorico del portale incastrato alla base è



Coefficienti di rigidità

Coefficiente di rigidità della colonna nel piano del portale

$$k_c = \frac{I_y}{h} \quad k_c = \frac{1033}{300}$$

$$k_c = 3,44 \text{ cm}^3 \quad (e6.8)$$

Coefficiente di rigidità  $k_{ij}$  delle travi convergenti sul nodo 1

Trave al disopra del nodo 1

$$\text{Non esistente} \quad k_1 = 0 \quad (e6.9)$$

Trave a sinistra del nodo 1

$$\text{Non esistente} \quad k_{11} = 0 \quad (e.10)$$

Trave a destra del nodo 1

Il coefficiente di rigidezza efficace  $k_{12}$  si ricava dal "Prospetto E.3 norme EC3"

La trave in oggetto, alle estremità, è sottoposta a due rotazioni uguali ed opposte (singola curvatura). Inoltre è anche soggetta ad uno sforzo normale di progetto:





$$N_{Ed,T} = -|H_B| = -\frac{l}{4} \cdot \frac{p_{Ed}}{2l+k} \cdot \frac{l^3}{h}$$

$$\text{con} \quad p_{Ed,ef} = 28,54 \text{ kN/m} \quad k = 3,57$$

$$N_{Ed,T} = -14,40 \text{ kN} \quad (e6.11)$$

Si può tener conto della diminuzione del coefficiente di rigidezza efficace dovuto allo sforzo normale utilizzando le modifiche proposte nel "Prospetto E.3 norme EC3 – Appendice E"

Dal "Prospetto E.3" – Formule per i coefficienti di rigidità ridotta di una trave per compressione assiale

Condizione di vincolo rotazione all'estremo lontano della trave	Coefficiente di rigidezza k della trave (a condizione che la trave resti elastica)
Incastrata	$1,0 \cdot \left(1 - 0,4 \frac{N}{N_E}\right) \frac{I}{L}$
Incernierata	$0,75 \cdot \left(1 - 1,0 \frac{N}{N_E}\right) \frac{I}{L}$
Rotazione uguale all'estremo vicino (doppia curvatura)	$1,5 \frac{I}{L} \cdot \left(1 - 0,2 \frac{N}{N_E}\right)$ 
Rotazione uguale ed opposta a quella dell'estremo vicino (curvatura singola)	$0,5 \frac{I}{L} \cdot \left(1 - 1,0 \frac{N}{N_E}\right)$ 
In questo prospetto $N_E = \frac{\pi^2 \cdot EI}{L^2}$	

Il coefficiente di rigidezza della trave BC a destra del nodo 1 è:

$$k_{12} = 0,5 \frac{I_y}{L} \cdot \left(1 - 1,0 \frac{N_{Ed,T}}{N_E}\right)$$

con:

$$L = 500 \text{ cm}$$

$$N_E = \frac{\pi^2 \cdot EI}{L^2} \qquad N_E = \frac{\pi^2 \cdot 21000 \cdot 3692}{500^2}$$

$$N_E = 3060 \text{ kN}$$

si ha:

$$\frac{N_{Ed,T}}{N_E} = \frac{14,40}{3060} \quad \text{trascurabile}$$

$$k_{12} = 0,5 \frac{I_y}{L} \qquad k_{12} = 0,5 \frac{3692}{500}$$

$$k_{12} = 3,69 \qquad (e6.12)$$

*Coefficiente di rigidità  $k_{ij}$  delle travi convergenti sul nodo 2*

*Trave a sinistra del nodo 2*

$$\text{incastro} \qquad k_{21} = \infty \qquad (e6.13)$$

*Trave a destra del nodo 2*

$$\text{Incastro} \qquad k_{22} = \infty \qquad (e6.14)$$

*Trave al disotto del nodo 2*

$$\text{inesistente} \qquad k_2 = 0 \qquad (e6.15)$$

*Coefficiente di distribuzione  $\eta_1, \eta_2$*

$$\eta_1 = \frac{k_c + k_1}{k_c + k_1 + k_{11} + k_{12}} \qquad \eta_1 = \frac{3,44 + 0}{3,44 + 0 + 0 + 3,69}$$

$$\eta_2 = \frac{k_c + k_2}{k_c + k_2 + k_{21} + k_{22}} \qquad \eta_2 = \frac{3,44 + 0}{3,44 + 0 + \infty + \infty}$$

$$\eta_1 = 0,48 \qquad (e6.16)$$

$$\eta_2 = 0 \qquad (e6.17)$$

*Coefficiente di libera inflessione  $\beta$*

$$\beta = 0,5 + 0,14 \cdot (\eta_1 + \eta_2) + 0,055(\eta_1 + \eta_2)^2$$

$$\beta = 0,5 + 0,14 \cdot (0,48 + 0) + 0,055(0,48 + 0)^2$$

$$\beta = 0,6 \quad \text{Coefficiente teorico}$$

*Tenendo conto che praticamente l'incastro non è perfetto, per precauzione si assume:*

$$\beta = 0,8 \qquad (e6.18)$$

*Snellezza di sbandamento laterale attorno all'asse y*

$$\lambda_y = \beta \cdot \frac{h}{i_y} \quad \lambda_y = 0,8 \cdot \frac{300}{5,73}$$

$$\lambda_y = 42 \quad (e6.19)$$

*Snellezza adimensionale  $\bar{\lambda}_y$*

$$\bar{\lambda}_y = \frac{\lambda_y}{\lambda_p}$$

$$\lambda_p = \pi \cdot \sqrt{\frac{E}{f_y}} \quad \lambda_p = \pi \cdot \sqrt{\frac{21000}{23,5}} = 94$$

$$\bar{\lambda}_y = \frac{\lambda_y}{\lambda_p} \quad \bar{\lambda}_y = \frac{42}{94}$$

$$\bar{\lambda}_y = 0,45 \quad (e6.20)$$

**Coefficienti di riduzione  $\chi_z, \chi_y$**

*Coefficiente di riduzione  $\chi_z$*

$$\chi_z = \frac{1}{\Phi_z + \sqrt{\Phi_z^2 - \bar{\lambda}_z^2}}$$

*Coefficiente  $\Phi_z$*

$$\Phi_z = 0,5 \cdot \left[ 1 + \alpha \cdot (\bar{\lambda}_z - 0,2) + \bar{\lambda}_z^2 \right]$$

*Il coefficiente di imperfezione  $\alpha$  si ottiene in base alla curva di instabilità dipendente rapporto  $h/b$  e dallo spessore dell'ala  $t_f$  (**Tabella 4.2.VI**)*

*Nel caso in esame*

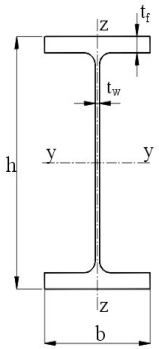
$$\frac{h}{b} = \frac{13,3}{14} < 1,2 \quad t_f = 8,5 \text{ mm} < 100 \text{ mm} \quad \text{asse debole } z-z$$

*Curva di instabilità: curva "c"*

*Dalle ultime due righe della tabella 4.2.VI in corrispondenza della curva "c" si ha:*

$$\alpha = 0,49 \quad (e6.21)$$

**Tabella 4.2.VI** Curva di instabilità per varie tipologie di sezioni e classi d'acciaio per elementi compressi

Sezione trasversale	Limiti		Curva di instabilità		
			S235 S275 S355 S420	S460	
 Sezioni laminate	$h/b > 1,2$	$t_f \leq 40$	y-y z-z	a b	$a_0$ $a_0$
		$40 \text{ mm} < t_f \leq 100 \text{ mm}$	y-y z-z	b c	a a
	$h/b \leq 1,2$	$t_f \leq 100 \text{ mm}$	y-y z-z	b c	a a
		$t_f > 100 \text{ mm}$	y-y z-z	d d	c c

Ultime due righe della tabella 4.2.VI

Curva di instabilità	$a_0$	$a$	$b$	$c$	$d$
Fattore di imperfezione $\alpha$	0,13	0,21	0,34	0,49	0,76

$$\Phi_z = 0,5 \cdot [1 + 0,49 \cdot (0,9 - 0,2) + 0,9^2]$$

$$\Phi_z = 1,1 \quad (e2.59)$$

$$\chi_z = \frac{I}{\Phi_z + \sqrt{\Phi_z^2 - \bar{\lambda}_z^2}}$$

$$\chi_z = \frac{I}{1,1 + \sqrt{1,1^2 - 0,9^2}}$$

$$\chi_z = 0,57 \quad (e6.23)$$

Coefficiente di riduzione  $\chi_y$

$$\chi_y = \frac{I}{\Phi_y + \sqrt{\Phi_y^2 - \bar{\lambda}_y^2}}$$

Coefficiente  $\Phi_y$

$$\Phi_y = 0,5 \cdot \left[ I + \alpha \cdot (\bar{\lambda}_z - 0,2) + \bar{\lambda}_y^2 \right]$$

Il coefficiente di imperfezione  $\alpha$  si ottiene in base alla curva di instabilità dipendente rapporto  $h/b$  e dallo spessore dell'ala  $t_f$  (**Tabella 4.2.VI**)

Nel caso in esame

$$\frac{h}{b} = \frac{13,3}{14} < 1,2 \quad t_f = 8,5 \text{ mm} < 100 \text{ mm} \quad \text{asse forte } y-y$$

Curva di instabilità: curva "b"

Ultime due righe della tabella 4.2.VI

Dalle ultime due righe della tabella 4.2.VI in corrispondenza della curva "b" si ha:

$$\alpha = 0,34 \quad (e6.24)$$

$$\Phi_y = 0,5 \cdot \left[ I + 0,34 \cdot (0,46 - 0,2) + 0,46^2 \right]$$

$$\Phi_y = 0,65 \quad (e6.25)$$

$$\chi_y = \frac{I}{\Phi_y + \sqrt{\Phi_y^2 - \bar{\lambda}_y^2}}$$

$$\chi_y = \frac{I}{0,65 + \sqrt{0,65^2 - 0,46^2}}$$

$$\chi_y = 0,9 \quad (e6.26)$$

**Coefficiente di riduzione**  $\chi_{LT}$

$$\chi_{LT} = \frac{1}{f} \cdot \frac{I}{\Phi_{LT} + \sqrt{\Phi_{LT}^2 - \bar{\lambda}_{LT}^2}}$$

Occorre prima determinare la snellezza adimensionale  $\bar{\lambda}_{LT}$

Snellezza adimensionale  $\bar{\lambda}_{LT}$

$$\bar{\lambda}_{LT} = \sqrt{\frac{f_{yk} \cdot W_{pl,y}}{M_{cr}}}$$

Momento critico  $M_{cr}$

Con carichi applicati al centro di taglio, come nel caso in esame sul profilato a doppia simmetria HEA 140, il momento critico è espresso dalla relazione:



$$M_{cr} = \psi \cdot \frac{\pi}{L_{cr}} \sqrt{E \cdot J_z \cdot G \cdot J_T} \cdot \sqrt{1 + \left(\frac{\pi}{L_{cr}}\right)^2 \cdot \frac{E \cdot J_\omega}{G \cdot J_T}} \quad (e6.27)$$

Il coefficiente  $\psi$  tiene conto della distribuzione del momento flettente lungo la trave, ed è dato dalla espressione (C4..2.4.1.3.2 Supplemento . n27):

$$\psi = 1,75 - 1,05 \cdot \frac{M_B}{M_A} + 0,3 \cdot \left(\frac{M_B}{M_A}\right)^2 \quad (e6.28)$$

in cui sono indicati con  $M_A, M_B$  i momenti flettenti alle estremità della trave con  $|M_B| < |M_A|$

Nel caso in esame è:

$$M_A = M_{Ed,B} = -2871 \text{ kN} \cdot \text{cm}$$

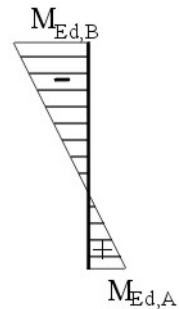
$$M_B = M_{Ed,A} = 1435,5$$

risulta:

$$\frac{M_B}{M_A} = \frac{1435,5}{-2871} = -\frac{1}{2}$$

$$\psi = 1,75 - 1,05 \cdot \left(-\frac{1}{2}\right) + 0,3 \cdot \left(-\frac{1}{2}\right)^2$$

$$\psi = 2,35 \quad (e6.29)$$



Costante torsionale  $J_T$

$$J_T = \frac{1}{3} \cdot (2 \cdot b \cdot t_f^3 + h \cdot t_w^3)$$

$$J_T = \frac{1}{3} \cdot (2 \cdot 14 \cdot 0,85^3 + 13,3 \cdot 0,55^3)$$

$$J_T = 6,5 \text{ cm}^4 \quad (e6.30)$$

Costante torsionale secondaria  $J_\omega$

$$J_\omega = \frac{1}{24} \cdot t_f \cdot b^3 \cdot h_a^2 \quad h_a = h - t_f \quad h_a = 13,3 - 0,85 = 12,45 \text{ cm}$$

$$J_\omega = \frac{1}{24} \cdot 0,85 \cdot 14^3 \cdot 12,45^2$$

$$J_\omega = 15064 \text{ cm}^6 \quad (e6.31)$$

Lunghezza di libera inflessione laterale  $L_{cr}$

$$L_{cr} = \beta \cdot h$$

$$h = 300 \text{ cm}$$

per l'inflessione critica rispetto all'asse debole  $z$ ,  $\beta = 1$

$$L_{cr} = 300 \text{ cm} \quad (e6.32)$$

Momento critico  $M_{cr}$

$$M_{cr} = \psi \cdot \frac{\pi}{L_{cr}} \sqrt{E \cdot J_z \cdot G \cdot J_T} \cdot \sqrt{1 + \left( \frac{\pi}{L_{cr}} \right)^2 \cdot \frac{E \cdot J_\theta}{G \cdot J_T}}$$

$$M_{cr} = 2,35 \cdot \frac{\pi}{300} \sqrt{21000 \cdot 384 \cdot 8077 \cdot 6,5} \cdot \sqrt{1 + \left( \frac{\pi}{300} \right)^2 \cdot \frac{21000 \cdot 15064}{8077 \cdot 6,5}}$$

$$M_{cr} = 20770 \text{ kN} \cdot \text{cm} \quad (e6.33)$$

Si noti che il risultato di  $M_{cr}$  è più sfavorevole rispetto a quello ottenuto con la normativa EC3.

Snellezza adimensionale  $\bar{\lambda}_{LT}$

$$\bar{\lambda}_{LT} = \sqrt{\frac{f_{yk} \cdot W_{pl,y}}{M_{cr}}}$$



$$\bar{\lambda}_{LT} = \sqrt{\frac{23,5 \cdot 173,5}{20770}}$$

$$\bar{\lambda}_{LT} = 0,44 \quad (e6.34)$$

Parametro  $f$  di distribuzione del momento

$$f = 1 - 0,5 \cdot (1 - k_c) \cdot \left[ 1 - 2,0 \cdot (\bar{\lambda}_{LT} - 0,8)^2 \right] \quad (e6.35)$$

Tabella 4.2.VIII coefficiente correttivo del momento flettente per la verifica a stabilità della travi inflesse.

Distribuzione del momento flettente	Fattore correttore $k_c$
$M_{sx}$  $M_{dx}$ $\psi = M_{dx} / M_{sx} = 1$	1,0
$M_{sx}$  $M_{dx}$ $-1 \leq \psi \leq 1$	$\frac{1}{1,33 - 0,33\psi}$

dove  $k_c$  è il coefficiente correttivo del momento flettente, riportato nella **Tabella 4.2.VIII**

Per la distribuzione di figura, del momento flettente sulla colonna si ha:

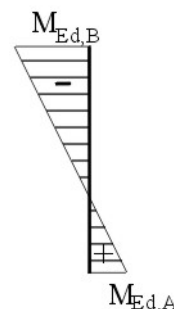
$$M_{dx} = M_{Ed,B}$$

$$M_{sx} = M_{Ed,A}$$

$$M_{dx} = M_{Ed,B} = -2871 \text{ kN} \cdot \text{cm}$$

$$M_{sx} = M_{Ed,A} = 1435,5 \text{ kN} \cdot \text{cm}$$

$$\psi = \frac{M_{dx}}{M_{sx}} = \frac{1435,5}{-2871} = -\frac{1}{2}$$



Per l'andamento lineare del momento flettente, secondo la tabella **Tabella 4.2.VIII**, risulta:

$$k_c = \frac{1}{1,33 - 0,33\psi} \quad k_c = \frac{1}{1,33 - 0,33 \cdot \left(-\frac{1}{2}\right)}$$

$$k_c = 0,67 \quad (e6.35)$$

sostituendo si ha:

$$f = 1 - 0,5 \cdot (1 - 0,67) \cdot \left[1 - 2,0 \cdot (0,44 - 0,8)^2\right]$$

$$f = 0,8 \quad (e6.37)$$

**Coefficiente  $\Phi_{LT}$**

$$\Phi_{LT} = 0,5 \left[1 + \alpha_{LT} \cdot (\bar{\lambda}_{LT} - 0,2) + \bar{\lambda}_{LT}^2\right] \quad (e6.38)$$

**Fattore di imperfezione  $\alpha_{LT}$**

Il coefficiente  $\alpha_{LT}$  di imperfezione dipende dalla curva di instabilità per gli elementi inflessi, ricavata dalla tabella 4.2.VII, in base al rapporto  $\frac{h}{b}$

Sezione trasversale	Limiti	Curva di instabilità da tab.4.2.VI
Sezioni laminati ad I	$h/b \leq 2$	$b$
	$h/b > 2$	$c$

Per il profilato HEA 140

$$\frac{h}{b} = \frac{130}{140} < 2$$

la curva di instabilità è la “b”

Nelle ultime due righe della tabella 4.2.VI, già utilizzata per il carico di punta, in corrispondenza della curva “b” si ha:

$$\alpha = \alpha_{LT} = 0,34$$

*Ultime due righe della tabella 4.2.VI*

Curva di instabilità	$a_0$	$a$	$b$	$c$	$d$
Fattore di imperfezione $\alpha$	0,13	0,21	0,34	0,49	0,76

$$\Phi_{LT} = 0,5 \cdot [1 + 0,34 \cdot (0,44 - 0,2) + 0,44^2]$$

$$\Phi_{LT} = 0,64 \quad (e6.39)$$

*Coefficiente di riduzione  $\chi_{LT}$*

Sostituendo le (e2.36), (e2.39), (e2.41) nella (e2.28), con  $\beta = 1$  si ha:

$$\chi_{LT} = \frac{1}{f} \cdot \frac{1}{\Phi_{LT} + \sqrt{\Phi_{LT}^2 - \bar{\lambda}_{LT}^2}}$$

$$\chi_{LT} = \frac{1}{0,8} \cdot \frac{1}{0,64 + \sqrt{0,64^2 - 0,44^2}}$$

$$\chi_{LT} = 1 \quad (e6.40)$$

*Coefficienti di interazione  $k_{yy}$ ,  $k_{zy}$*

Il ritto, sollecitato con momenti  $M_y$  nel piano normale all'asse  $y$  è deformabile torsionalmente, e può subire uno sbandamento laterale per carico di punta nel piano normale all'asse  $y$  o  $z$ , dipendente dal valore del momento d'inerzia rispetto a detti assi e dal tipo di vincolo in detti piani.

Si è supposto che il ritto, nel piano normale all'asse  $y$ , sia incastro alla base e abbia continuità con il traverso nell'estremità superiore.

Nel piano normale all'asse  $z$  si è supposto che il ritto sia incernierato alle estremità

I coefficienti  $k_{yy}$ ,  $k_{zy}$  determinano l'interazione alla sollecitazione totale tra il carico di punta e il momento  $M_y$ , posto sul piano normale all'asse  $y$ , e precisamente:

$k_{yy}$  Interazione tra la sollecitazione data dal momento  $M_y$  sul piano normale all'asse  $y$  e il carico di punta dovuta allo sforzo normale  $N$  con sbandamento laterale su piano normale allo steso asse  $y$

$k_{zy}$  Interazione tra la sollecitazione data dal momento  $M_y$  sul piano normale all'asse  $y$  e il carico di punta dovuta allo sforzo normale  $N$  con sbandamento laterale su piano normale allo steso asse  $z$

**Tabella C4.2.V** - Coefficienti di interazione per la verifica di stabilità a presso flessione di elementi deformabili torsionalmente

$k$	Sezioni di classe 1 e 2 (proprietà delle sezioni calcolate nel campo elastico)
$k_{yy}$	$\alpha_{my} \cdot \left( 1 + (\bar{\lambda}_y - 0,2) \cdot \frac{N_{Ed} \cdot \gamma_{M1}}{\chi_y \cdot A \cdot f_{yk}} \right) \leq \alpha_{my} \cdot \left( 1 + 0,8 \cdot \frac{N_{Ed} \cdot \gamma_{M1}}{\chi_y \cdot A \cdot f_{yk}} \right)$
$k_{yz}$	$0,6k_{zz}$
$k_{zy}$	$\left( 1 - \frac{0,1 \cdot \bar{\lambda}_z}{(\alpha_{mLT} - 0,25)} \cdot \frac{N_{Ed} \cdot \gamma_{M1}}{\chi_z \cdot A \cdot f_{yk}} \right) \geq \left( 1 - \frac{0,1}{(\alpha_{mLT} - 0,25)} \cdot \frac{N_{Ed} \cdot \gamma_{M1}}{\chi_z \cdot A \cdot f_{yk}} \right)$ per $\lambda_z \geq 0,4$  $k_{zy} = 0,6 + \bar{\lambda}_z \leq \left( 1 - \frac{0,1 \cdot \bar{\lambda}_z}{(\alpha_{mLT} - 0,25)} \cdot \frac{N_{Ed} \cdot \gamma_{M1}}{\chi_z \cdot A \cdot f_{yk}} \right)$ per $\bar{\lambda}_z < 0,4$
$k_{zz}$	$\alpha_{mz} \cdot \left( 1 + (2 \cdot \bar{\lambda}_z - 0,6) \cdot \frac{N_{Ed} \cdot \gamma_{M1}}{\chi_z \cdot A \cdot f_{yk}} \right) \leq \alpha_{mz} \cdot \left( 1 + 1,4 \cdot \frac{N_{Ed} \cdot \gamma_{M1}}{\chi_z \cdot A \cdot f_{yk}} \right)$

Coefficiente di interazione  $k_{yy}$

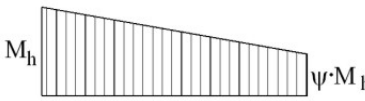
Dalla tabella Tabella C4.2.V (normativa NTC supplemento ord. N 27) per la sezioni 1,2 si ha:

$$k_{yy} = \alpha_{my} \cdot \left( 1 + (\bar{\lambda}_y - 0,2) \cdot \frac{N_{Ed} \cdot \gamma_{M1}}{\chi_y \cdot A \cdot f_{yk}} \right) \leq \alpha_{my} \cdot \left( 1 + 0,8 \cdot \frac{N_{Ed} \cdot \gamma_{M1}}{\chi_y \cdot A \cdot f_{yk}} \right) \quad (e6.41)$$

Coefficiente correttivo  $\alpha_{my}$

Si determina dalla **Tabella C4,2,6**

**Tabella C4.2.6** Coefficienti correttivi del momento flettente per la verifica di stabilità a presso-flessione deviata

Diagramma del momento	Intervallo	Coefficienti $\alpha_{my}, \alpha_{mz}, \alpha_{mLT}$	
		Carico uniforme	Carico concentrato
	$-1 \leq \psi \leq 1$	$0,6 + 0,4\psi \geq 0,4$	

Per la distribuzione lineare del momento flettente sulla colonna, di figura, si ha:

$$M_{Ed,B} = -2871 \text{ kN} \cdot \text{cm}$$

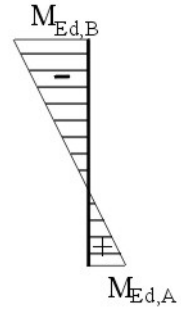
$$M_{Ed,A} = 1435,5 \text{ kN} \cdot \text{cm}$$

$$\psi = \frac{M_{Ed,A}}{M_{Ed,B}} = \frac{1435,5}{-2871} = -\frac{1}{2}$$

$$\alpha_{my} = 0,6 + 0,4\psi \geq 0,4$$

$$\alpha_{my} = 0,6 + 0,4 \cdot \left( -\frac{1}{2} \right)$$

$$\alpha_{my} = 0,4 \quad (\text{e6.42})$$



Si può ora determinare il coefficiente di interazione  $k_{yy}$

$$k_{yy} = \alpha_{my} \cdot \left( 1 + (\bar{\lambda}_y - 0,2) \cdot \frac{N_{Ed} \cdot \gamma_{M1}}{\chi_y \cdot A \cdot f_{yk}} \right)$$

dove precedentemente si è ottenuto

$$\alpha_{my} = 0,4 \quad \bar{\lambda}_y = 0,46 \quad N_{Ed} = 71,34 \text{ kN}$$

$$\gamma_{M1} = 1,05 \quad \chi_y = 0,9 \quad A = 31,42 \text{ cm}^2$$

$$f_{ky} = 23,5 \text{ kN} / \text{cm}^2$$

sostituendo:

$$k_{yy} = 0,4 \cdot \left( 1 + (0,46 - 0,2) \cdot \frac{71,34 \cdot 1,05}{0,9 \cdot 31,42 \cdot 25,3} \right)$$

$$k_{yy} = 0,41 \quad (\text{e6.43})$$

Espressione limite

$$\alpha_{my} \cdot \left( 1 + 0,8 \cdot \frac{N_{Ed} \cdot \gamma_{M1}}{\chi_y \cdot A \cdot f_{yk}} \right) = 0,4 \cdot \left( 1 + 0,8 \cdot \frac{71,34 \cdot 1,05}{0,9 \cdot 31,42 \cdot 25,3} \right) = 0,43$$

Risulta:

$$k_{yy} = 0,41 < 0,43 \text{ accettabile}$$

### Coefficiente di interazione $k_{zy}$

Si determina  $k_{zy}$  dalla tabella stessa "Tabella C4.2.V" per le sezioni 1,2.

Essendo  $\lambda_z = 0,57 > 0,4$  si utilizza l'espressione:

$$k_{zy} = \left( 1 - \frac{0,1 \cdot \bar{\lambda}_z}{(\alpha_{mLT} - 0,25)} \cdot \frac{N_{Ed} \cdot \gamma_{M1}}{\chi_z \cdot A \cdot f_{yk}} \right) \geq \left( 1 - \frac{0,1}{(\alpha_{mLT} - 0,25)} \cdot \frac{N_{Ed} \cdot \gamma_{M1}}{\chi_z \cdot A \cdot f_{yk}} \right) \text{ per } \lambda_z \geq 0,4$$

### Coefficiente correttivo $\alpha_{mLT}$

Si ricava dalla stessa **Tabella C4,2,6** per la determinazione di  $\alpha_{my}$ .

Con

$$\psi = \frac{M_{Ed,A}}{M_{Ed,B}} = \frac{1435,5}{-2871} = -\frac{1}{2} \text{ si ha ugualmente}$$

$$\alpha_{mLT} = 0,4$$

Con i valori precedentemente ottenuti:

$$\alpha_{mLT} = 0,4 \qquad \bar{\lambda}_z = 0,9 \qquad N_{Ed} = 71,34 \text{ kN}$$

$$\gamma_{M1} = 1,05 \qquad \chi_z = 0,57 \qquad A = 31,42 \text{ cm}^2$$

$$f_{yk} = 23,5 \text{ kN / cm}^2$$

si può determinare  $k_{zy}$

$$k_{zy} = \left( 1 - \frac{0,1 \cdot \bar{\lambda}_z}{(\alpha_{mLT} - 0,25)} \cdot \frac{N_{Ed} \cdot \gamma_{M1}}{\chi_z \cdot A \cdot f_{yk}} \right)$$

$$k_{zy} = \left( 1 - \frac{0,1 \cdot 0,9}{(0,4 - 0,25)} \cdot \frac{71,34 \cdot 1,05}{0,57 \cdot 31,42 \cdot 23,5} \right)$$

$$k_{zy} = 0,89$$

Espressione limite

$$1 - \frac{0,1}{(\alpha_{mLT} - 0,25)} \cdot \frac{N_{Ed} \cdot \gamma_{M1}}{\chi_z \cdot A \cdot f_{yk}} = 1 - \frac{0,1}{(0,4 - 0,25)} \cdot \frac{71,34 \cdot 1,05}{0,57 \cdot 31,42 \cdot 23,5} = 0,88$$

$$k_{zy} = 0,89 > 0,88 \text{ accettabile}$$

Sintetizzando si ha:

$$\begin{cases} k_{yy} = 0,43 \\ k_{zy} = 0,89 \end{cases}$$

## Verifica

La sezione della colonna è di classe 1, quindi, nella verifica, si può utilizzare il modulo di resistenza plastico  $W_{pl,y}$

$$\left\{ \begin{array}{l} \frac{N_{Ed}}{\chi_y \cdot \frac{A \cdot f_{yk}}{\gamma_{M1}}} + k_{yy} \frac{M_{y,Ed}}{\chi_{LT} \cdot \frac{W_{pl,y} \cdot f_{yk}}{\gamma_{M1}}} \leq 1 \quad (a) \\ \frac{N_{Ed}}{\chi_z \cdot \frac{A \cdot f_{yk}}{\gamma_{M1}}} + k_{zy} \frac{M_{y,Ed}}{\chi_{LT} \cdot \frac{W_{pl,y} \cdot f_{yk}}{\gamma_{M1}}} \leq 1 \quad (b) \end{array} \right.$$

Con i valori precedentemente ottenuti:

$$\begin{array}{lll} N_{Ed} = 71,34 \text{ cm}^2 & M_{Ed} = 2871 \text{ kN} \cdot \text{cm}^2 & W_{pl,y} = 173,5 \text{ cm}^3 \\ A = 31,42 \text{ cm}^2 & \gamma_{M1} = 1,05 & \chi_y = 0,9 \\ \chi_z = 0,57 & \chi_{LT} = 1 & f_{yk} = 23,5 \text{ kN} / \text{cm}^2 \\ k_{yy} = 0,43 & k_{zy} = 0,89 & \end{array}$$

si ha:

$$\left\{ \begin{array}{l} \frac{71,34}{0,9 \cdot \frac{31,42 \cdot 23,5}{1,05}} + 0,43 \frac{2871}{1 \cdot \frac{173,5 \cdot 23,5}{1,05}} = 0,43 \leq 1 \quad (a) \\ \frac{71,34}{0,57 \cdot \frac{31,42 \cdot 23,5}{1,05}} + 0,89 \frac{2871}{1 \cdot \frac{173,5 \cdot 23,5}{1,05}} = 0,836 \leq 1 \quad (b) \end{array} \right.$$

**La sezione della colonna è verificata alla sollecitazione di presso flessione torsione**



## 2.8- Verifica agli stati limite di esercizio nella flessione

### Spostamenti verticali

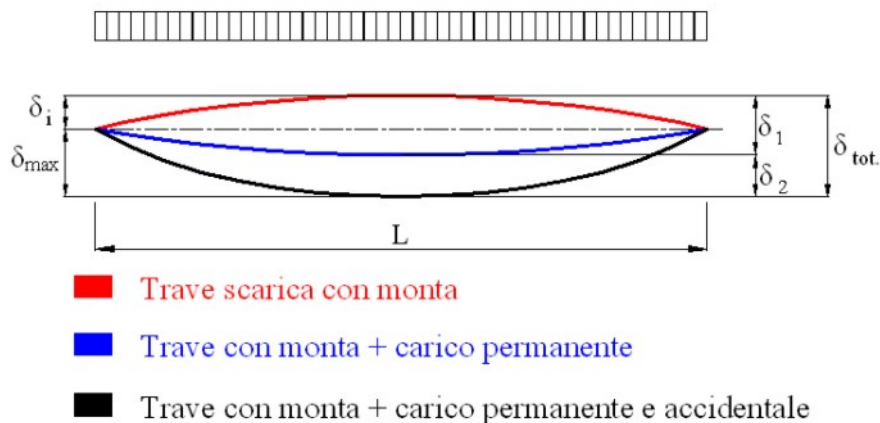
Gli stati limite di esercizio nella sollecitazione di flessione fanno riferimento alle limitazioni sulle deformazioni e spostamenti verticali che possono, oltre un certo limite accettabile, limitare l'uso della costruzione, la sua efficienza e il suo aspetto; oltre a compromettere l'utilizzo e l'efficienza di elementi non strutturali.

Occorre distinguere diversi tipi di spostamenti ortogonali dell'asse della trave: per deformazioni impresse di monta, per carichi permanenti, per carichi accidentali.

Per limitare la deformazione di una trave, dovuta ai carichi permanenti e accidentali, si effettua una deformazione, denominata *monta*  $\delta_i$ , impressa in senso contrario a quelle provocate da detti carichi.

Una volta messa in luogo la trave con impressa la monta  $\delta_i$ , essa successivamente subirà, rispetto a questa, una deformazione  $\delta_1$  in senso contrario, per effetto del carico permanente, e, successivamente, una ulteriore deformazione  $\delta_2$ , dovuta ai carichi accidentali (nello stesso senso di  $\delta_1$ ).

Fig.2.8.1



Si possono così distinguere i seguenti spostamenti:

- $\delta_i$  Deformazione preventiva impressa alla trave, in senso opposto a quella provocata dal carico permanente e accidentale per limitare l'effetto di questi;
- $\delta_1$  spostamento elastico dovuto ai carichi permanenti
- $\delta_2$  spostamento elastico dovuto ai carichi variabili (accidentali)
- $\delta_{tot.}$  spostamento elastico totale subito dalla trave per effetto dei due carichi permanenti e variabili, partendo dalla posizione di monta.

$$\delta_{tot.} = \delta_1 + \delta_2 \quad (2.8.1)$$

Lo spostamento  $\delta_{tot.}$  è quello che, per effetto combinato del carico permanente e accidentale, porta l'asse della trave dalla posizione iniziale di monta a quello finale, con lo spostamento  $\delta_{max}$  (ammissibile di progetto) rispetto alla posizione che avrebbe l'asse della trave non deformata e senza carichi;

$\delta_{max.}$  spostamento massimo, di progetto ammissibile, dell'asse della trave nello stato finale, rispetto alla posizione che avrebbe la stessa trave non deformata, senza carichi

$$\delta_{max} = \delta_{tot} - \delta_i \quad (2.8.2)$$

$$\delta_{max} = \delta_1 + \delta_2 - \delta_i \quad (2.8.3)$$

Dalla **Tabella 4.2.X** *Limiti di deformazione per gli elementi di impalcato delle costruzioni ordinarie*

Elementi strutturali	Limiti superiori per gli spostamenti verticali	
	$\frac{\delta_{max.}}{L}$	$\frac{\delta_2}{L}$
Coperture in generale	$\frac{1}{200}$	$\frac{1}{250}$
Coperture praticabili	$\frac{1}{250}$	$\frac{1}{300}$
Solai in generale	$\frac{1}{250}$	$\frac{1}{300}$
Solai o coperture che reggono intonaco o altro materiale di finitura fragile e tramezzi non flessibili	$\frac{1}{250}$	$\frac{1}{350}$
Solai che supportano colonne	$\frac{1}{400}$	$\frac{1}{500}$
Nei casi in cui lo spostamento può compromettere l'aspetto dell'edificio	$\frac{1}{250}$	
<i>In caso di specifiche esigenze tecniche e/o funzionali tali limiti devono essere opportunamente ridotti</i>		

Nella tabella 4.2.X (normativa NTC Dm 2008) sono riportati i limiti di deformabilità per gli impalcati delle costruzioni ordinarie, nei riguardi: sia della deformazione max.  $\delta_{max.}$  consentita per effetto della presenza contemporanea dei due carichi permanenti e accidentali, sia della deformazione  $\delta_2$  del solo carico accidentale; entrambi in rapporto alla luce  $L$  dell'elemento:

$$\frac{\delta_{max.}}{L} \quad \text{e} \quad \frac{\delta_2}{L}$$

### 1°- Esempio di verifica agli stati limite di esercizio per gli spostamenti verticali

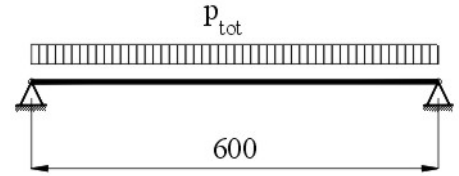
Si effettui la verifica agli stati limiti di esercizio per gli spostamenti verticali della trave IPE 220 di figura di una copertura generica, sollecitata dai seguenti carichi

Fig.2.8.2

Carico permanente distribuito  $g_k = 12 \text{ kN/m}$

Carico variabile distribuito  $q_k = 18 \text{ kN/m}$

Momento d'inerzia IPE220  $I_y = 2772 \text{ cm}^4$



Carico  $p_{tot}$  determinante lo spostamento totale  $\delta_{tot}$ :

$$p_{tot} = g_k + q_k \quad p_{tot} = 12 + 18$$

$$p_{tot} = 30 \text{ kN/m} = 30 \frac{\text{kN}}{10^2 \text{ cm}}$$

$$p_{tot} = 0,30 \text{ kN/cm} \quad (e7.1)$$

**Limite dello spostamento massimo  $\delta_{max}$**

Per una copertura in generale deve risultare:

$$\frac{\delta_{max}}{L} \leq \frac{1}{200} \quad (e7.2)$$

Occorre per prima cosa verificare se è necessaria una monta: cioè se, in assenza di questa, lo spostamento massimo  $\delta_{max}$  rientra nei limiti verificando il rapporto tra  $\delta_{max}$  e  $L$

Spostamenti  $\delta_{max}$  senza monta.

In questo caso la deformazione totale coincide con quella massima:  $\delta_{tot} = \delta_{max}$

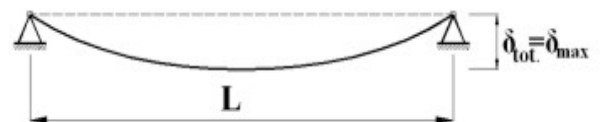
Fig.2.8.3

deformazione totale:

$$\delta_{tot} = \frac{5}{384} \cdot \frac{p_{tot} \cdot L^4}{E \cdot J_y}$$

$$\delta_{tot} = \frac{5}{384} \cdot \frac{0,30 \cdot 600^4}{21000 \cdot 2772}$$

$$\delta_{tot} = \delta_{max} = 8,7 \text{ cm} \quad (e7.4)$$



rapporto con la lunghezza :

$$\frac{\delta_{max}}{L} = \frac{1}{70} > \frac{1}{200}$$

$$\frac{\delta_{max}}{L} = \frac{\delta_{tot}}{L} = \frac{8,7}{600}$$

la deformazione  $\delta_{max}$  supera i limite consentito.

In una copertura, in generale deve essere rispettata la prescrizione:

$$\frac{\delta_{max}}{L} \leq \frac{1}{200}$$

Deve essere praticata una monta  $\delta_i$  che faccia rientrare nel limite consentito lo spostamento massimo  $\delta_{max}$ , misurato rispetto al livello orizzontale.

Considerando il rapporto limite, si può determinare lo spostamento massimo limite  $\delta_{max,lim}$  consentito.

$$\frac{\delta_{max,lim}}{L} = \frac{1}{200} \quad \text{da cui} \quad \delta_{max,lim} = \frac{L}{200} \quad \delta_{max,lim} = \frac{600}{200}$$

$$\delta_{max,lim} = 3 \text{ cm} \quad (e7.5)$$

Così, conoscendo lo spostamento totale  $\delta_{tot}$  provocato dai carichi, si può determinare la monta  $\delta_i$  occorrente per avere, al limite, lo spostamento massimo  $\delta_{max,lim} = 3 \text{ cm}$  consentito, (vedi Fig.2.8.1 e Fig.2.8.)

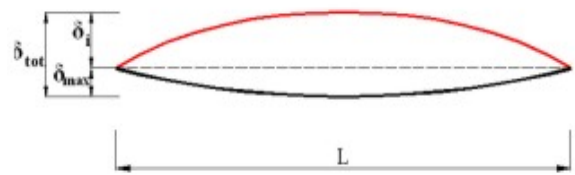
Fig.8.4

da cui

$$\delta_{tot} = \delta_{max} + \delta_i$$

$$\delta_i = \delta_{tot} - \delta_{max}$$

$$\delta_i = 8,7 - 3 = 5,7 \text{ cm} \quad (e7.6)$$



Assumiamo una monta di:

$$\delta_i = 6 \text{ cm} \quad (e7.7)$$

Si avrà così uno spostamento massimo effettivo di:

$$\delta_{max,eff.} = \delta_{tot} - \delta_i \quad \delta_{max,eff.} = 8,7 - 6$$

$$\delta_{max,eff} = 2,7 \text{ cm} \quad (e7.8)$$

Si ha così il rapporto:

$$\frac{\delta_{max,eff}}{L} = \frac{2,7}{600} \quad \frac{\delta_{max,eff}}{L} = \frac{1}{222} < \frac{1}{200}$$

rapporto accettabile nei riguardi dello spostamento massimo  $\delta_{max}$

**Limite dello spostamento  $\delta_2$  riguardante i carichi variabili**

Per una copertura in generale deve risultare:

$$\frac{\delta_2}{L} \leq \frac{1}{250} \quad (e3.9)$$

per il carico variabile distribuito  $q_k = 0,18 \text{ kN/cm}$  si ha:

$$\delta_2 = \frac{5}{384} \cdot \frac{q_k \cdot L^4}{E \cdot J_y} \quad \delta_2 = \frac{5}{384} \cdot \frac{0,18 \cdot 600^4}{21000 \cdot J_y} \quad \delta_2 = \frac{14464,3}{J_y}$$

Per il profilato IPE 220 è  $I_y = 2772 \text{ cm}^4$

$$\delta_2 = \frac{14464,3}{2772}$$

$$\delta_2 = 5,21 \text{ cm}$$

Risulta:

$$\frac{\delta_2}{L} = \frac{5,21}{600} = \frac{1}{115} > \frac{1}{250} \quad (e3.10)$$

Non è verificato lo stato limite di esercizio nei riguardi dello spostamento  $\delta_2$  dovuto ai carichi variabili.

Occorre scegliere un profilato IPE di maggiori dimensioni.

Si sceglie un profilato IPE 240

Con  $J_y = 3892 \text{ cm}^4$

$$\delta_2 = \frac{14464,3}{J_y} \quad \delta_2 = \frac{14464,3}{3892}$$

$$\delta_2 = 3,7 \text{ cm}$$

$$\frac{\delta_2}{L} = \frac{3,7}{600} = \frac{1}{162} > \frac{1}{250}$$

Non accettabile

Si sceglie un profilato IPE 270

Con  $J_y = 5790 \text{ cm}^4$

$$\delta_2 = \frac{14464,3}{J_y} \quad \delta_2 = \frac{14464,3}{5790}$$

$$\delta_2 = 2,5 \text{ cm}$$

$$\frac{\delta_2}{L} = \frac{2,5}{600} = \frac{1}{240} > \frac{1}{250}$$

Non accettabile

Si sceglie un profilato IPE 300

Con  $J_y = 8356 \text{ cm}^4$

$$\delta_2 = \frac{14464,3}{J_y} \quad \delta_2 = \frac{14464,3}{8356}$$

$$\delta_2 = 1,71 \text{ cm}$$

$$\frac{\delta_2}{L} = \frac{1,71}{600} = \frac{1}{347} < \frac{1}{250}$$

Accettabile

### Nota

In un primo approccio al progetto della trave conviene, spesso, iniziare il calcolo dalla imposizione dei limiti di deformazione  $\delta_{max}$ ,  $\delta_2$  da cui, ricavando il momento d'inerzia  $J_y$ , si può scegliere il profilato da porre al calcolo della verifica di resistenza.

### Verifica finale della necessità della monta ed eventuale suo valore

Si determina ora, per il profilato IPE 300 scelto, il valore della deformazione  $\delta_{max}$  senza monta e, se necessaria, l'eventuale suo valore.

Con  $\delta_i = 0$  si ha:

$$\delta_{tot} = \delta_{max}$$

$$\delta_{tot} = \frac{5}{384} \cdot \frac{p_{tot} \cdot L^4}{E \cdot J_y} \quad \delta_{tot} = \frac{5}{384} \cdot \frac{0,30 \cdot 600^4}{21000 \cdot 8356}$$

$$\delta_{tot} = \delta_{max} = 2,89 \text{ cm}$$

$$\frac{\delta_{max}}{L} = \frac{2,89}{600} = \frac{1}{208} < \frac{1}{200}$$

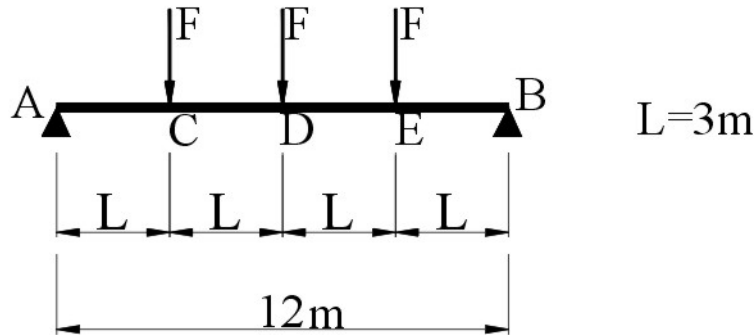
Accettabile

Non occorre monta  $\delta_i = 0$

## 2°- Esempio di verifica agli stati limite di esercizio per gli spostamenti verticali

Verifica degli stati limite di esercizio per gli spostamenti verticali per la trave IPE 400 verificata precedentemente a flessione torsione.

La trave sia utilizzata in una copertura generica



Carichi:

Carico permanente  $G_1 = 9,5 \text{ kN}$

Carico variabile  $Q_1 = 12 \text{ kN}$

Forza  $F$  da porre a calcolo negli stati limite di esercizio

$$F = G_1 + Q_1$$

$$F = 9,5 + 12$$

$$F = 21,5 \text{ kN} \quad (e4.1)$$

Caratteristiche del profilato IPE 400

Fig.2.6.9

Profilato IPE 400

$$h = 400 \text{ mm} = 40 \text{ cm} \quad I_y = 23130 \text{ cm}^4$$

$$b = 180 \text{ mm} = 18 \text{ cm} \quad I_z = 1318 \text{ cm}^4$$

$$t_f = 13,5 \text{ mm} = 1,3 \text{ cm}$$

$$W_{pl,y} = 1307 \text{ cm}^3$$

$$t_w = 8,6 \text{ mm} = 0,86 \text{ cm}$$

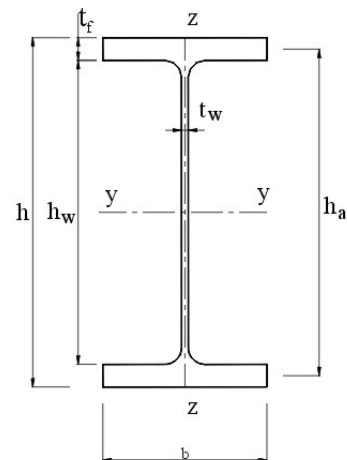
$$S_y = 654 \text{ cm}^3$$

$$A = 8450 \text{ mm}^2 = 84,5 \text{ cm}^2$$

$$W_{el,y} = 1156 \text{ cm}^3$$

$$h_w = 373 \text{ mm} = 37,3 \text{ cm}$$

$$G = 66,3 \text{ kg/m}$$



Nell'esercizio precedente si è tracciato il diagramma del momento flettente dovuta ai carichi  $F$ .

per simmetria si ha:

$$Y_A = Y_B = \frac{3F_{Ed}}{2} \quad (e8.1)$$

Momenti flettenti in corrispondenza dei carichi  $F$   
Momento in C:

$$M_C = Y_A \cdot L$$

$$M_C = \frac{3F_{Ed}}{2} \cdot L \quad (e8.2)$$

Momento in D:

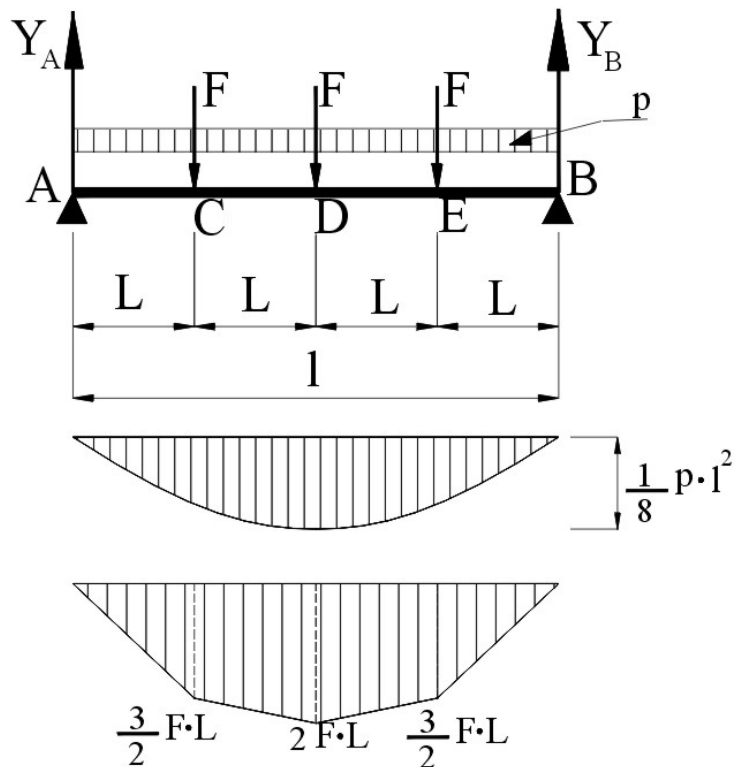
$$M_D = Y_A \cdot 2L - F_{Ed} \cdot L$$

$$M_D = 2F_{Ed} \cdot L \quad (e8.3)$$

Momento in E:

$$M_{Ed,E} = M_{Ed,C} = \frac{3F_{Ed}}{2} \cdot L \quad (e8.4)$$

Per la determinazione dell'eventuale monta occorrente, consideriamo anche il peso proprio della trave



Peso lineare

$$p = G \cdot 9,81$$

$$p = 66,3 \cdot 9,81 = 650 \text{ N/m} = 0,65 \text{ kN/m}$$

$$p = 0,65 \cdot 10^{-2} \text{ kN/cm} \quad (e8.5)$$

Freccia dovuta al peso proprio distribuito



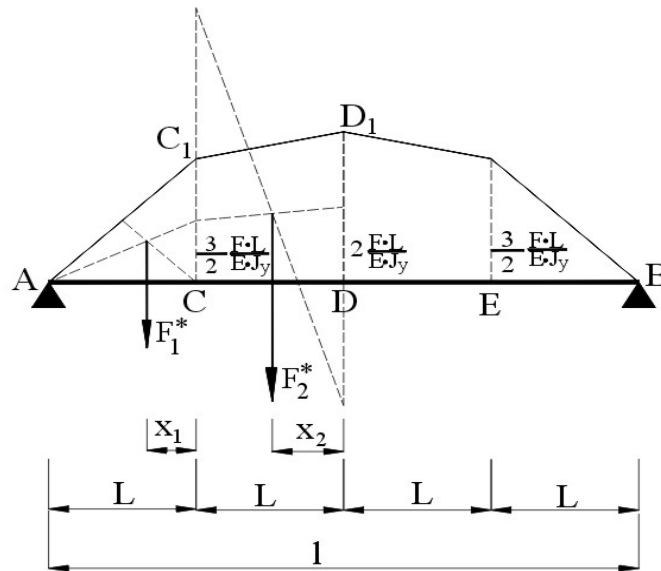
$$f_p = \frac{5}{384} \cdot \frac{p \cdot l^4}{E \cdot J_y} \qquad f_p = \frac{5}{384} \cdot \frac{0,65 \cdot 10^{-2} \cdot 1200^4}{21000 \cdot 23130}$$

$$f_p = 0,36 \text{ cm} \qquad (e8.6)$$

### Freccia dovuta ai carichi $F$

#### Espressione della freccia

Si utilizza il metodo di Mohr. La freccia in una sezione è data dal momento flettente fittizio  $M^*$ , ottenuto ponendo sulla trave un carico distribuito pari al diagramma del momento flettente le cui ordinate sono  $\frac{M}{E \cdot J_y}$



### Carichi lineari fittizi $q^*$ nelle sezioni $C, D, E$

Sono espressi dal momento flettente in quella sezione diviso  $E \cdot J_y$ .

$$q_C^* = CC_1 = \frac{3}{2} \cdot \frac{F \cdot L}{E \cdot J_y} \qquad (e8.7)$$

$$q_D^* = DD_1 = 2 \cdot \frac{F \cdot L}{E \cdot J_y} \qquad (e8.8)$$

$$q_E^* = \frac{3}{2} \cdot \frac{F \cdot L}{E \cdot J_y} \qquad (e8.9)$$

### Reazioni fittizie $Y_A^*, Y_B^*$

Per la simmetria, le reazioni fittizie  $Y_A^* = Y_B^*$  sono pari a metà del carico fittizio totale, descritto nella figura Fig.2.8.6 dall'area  $AD_1D$  del diagramma. Questa è divisa nelle due aree parziali  $AC_1C$  e  $CC_1D_1D$ .

Al baricentro delle due aree è posto il carico fittizio che esse rappresentano, e, rispettivamente:  $F_1^*$  per l'area triangolare  $AC_1C$  e  $F_2^*$  per l'area del trapezio  $CC_1D_1D$ .

Carico fittizio  $F_1^*$

$$F_1^* = \frac{q_C^* \cdot L}{2} \quad F_1^* = \frac{3}{2} \frac{F \cdot L}{E \cdot J_y} \cdot \frac{L}{2}$$

$$F_1^* = \frac{3}{4} \cdot \frac{F \cdot L^2}{E \cdot J_y} \quad (e8.10)$$

Carico fittizio  $F_2^*$

$$F_2^* = \frac{(q_C^* + q_D^*) \cdot L}{2} \quad F_2^* = \frac{1}{2} \cdot \left( \frac{3}{2} \cdot \frac{F \cdot L}{E \cdot J_y} + 2 \cdot \frac{F \cdot L}{E \cdot J_y} \right) \cdot L$$

$$F_2^* = \frac{7}{4} \cdot \frac{F \cdot L^2}{E \cdot J_y} \quad (e8.11)$$

Reazioni fittizie  $Y_A^* = Y_B^*$

$$Y_A^* = Y_B^* = F_1^* + F_2^* \quad Y_A^* = Y_B^* = \frac{3}{4} \cdot \frac{F \cdot L}{E \cdot J_y} + \frac{7}{4} \cdot \frac{F \cdot L}{E \cdot J_y}$$

$$Y_A^* = Y_B^* = \frac{5}{2} \frac{F \cdot L^2}{E \cdot J_y} \quad (e8.12)$$

#### Baricentro di un trapezio

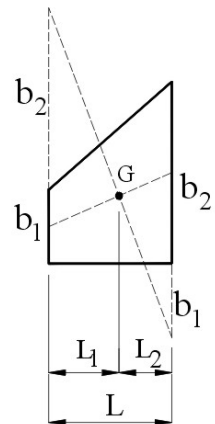
Si consideri di trapezio rettangolo di figura .

Graficamente, si riporta la base  $b_2$  di seguito ad una estremità dell'altra base  $b_1$ ; mentre questa si riporta, in senso opposto, all'estremità di  $b_2$ . Si congiungono le estremità dei segmenti riportati. Il segmento ottenuto, interseca nel baricentro  $G$  il segmento tracciato tra i due punti medi delle due basi.

Si dimostra che risulta:

$$L_1 = \frac{L}{3} \frac{b_1 + 2 \cdot b_2}{b_1 + b_2}$$

$$L_2 = \frac{L}{3} \frac{b_2 + 2 \cdot b_1}{b_2 + b_1}$$



*Baricentri delle aree parziali  $AC_1C$ ,  $CC_1D_1D$ .*

Triangolo  $AC_1C$

La distanza  $x_1$  rispetto alla base  $CC_1$  è:

$$x_1 = \frac{1}{3}L \quad (e8.13)$$

Trapezio  $CC_1D_1D$

La distanza  $x_2$  rispetto alla base  $DD_1$  è:

$$x_2 = \frac{L}{3} \frac{DD_1 + 2 \cdot CC_1}{DD_1 + CC_1} \quad x_2 = \frac{L}{3} \frac{2 \frac{FL}{EJ_y} + 2 \cdot \frac{3 FL}{2 EJ_y}}{2 \frac{FL}{EJ_y} + \frac{3 FL}{2 EJ_y}} \quad x_2 = \frac{L}{3} \cdot \frac{5}{7}$$

$$x_2 = \frac{10}{21}L \quad (e8.14)$$

Freccia  $f_D$  nella sezione  $D$  di mezzeria dovuta ai carichi  $F$

La freccia è data dal momento flettente fittizio rispetto alla sezione  $D$  del carico distribuito fittizio suddetto, posto sulla trave, costituito dal diagramma del momento flettente, con le ordinate divise per  $EJ_y$

$$f_D = M_D^* = Y_A^* \cdot 2L - F_1^* \cdot (x_1 + L) - F_2^* \cdot x_2$$

$$f_D = \frac{5}{2} \cdot \frac{FL^2}{EJ_y} \cdot 2L - \frac{3}{4} \cdot \frac{FL^2}{EJ_y} \left( \frac{1}{3} + L \right) - \frac{7}{4} \cdot \frac{FL^2}{EJ_y} \cdot \frac{10}{21} \cdot L$$

$$f_D = 5 \cdot \frac{FL^3}{EJ_y} - \frac{FL^3}{EJ_y} - \frac{5}{6} \cdot \frac{FL^3}{EJ_y}$$

$$f_D = \frac{19}{6} \cdot \frac{FL^3}{EJ_y} \quad (e8.15)$$

per  $F = 21,5 \text{ kN}$  si ha:

$$f_d = \frac{19}{6} \frac{21,5 \cdot 300^3}{21000 \cdot 23130}$$

$$f_D = 2,78 \text{ cm} \quad (e8.16)$$

### Verifiche allo stato limite di esercizio per gli spostamenti verticali

Verifica sullo spostamento massimo  $\delta_{max}$

Deve verificarsi che sia rispettata la limitazione:

$$\frac{\delta_{max}}{l} \leq \frac{1}{200} \quad (e8.17)$$

Lo spostamento totale  $\delta_{tot}$  in mezzeria della trave è dato dalla somma delle due frecce dovute ai carichi  $F$  e dal peso proprio

$$\delta_{tot} = f_D + f_p \quad \delta_{tot} = 3,78 + 0,36$$

$$\delta_{tot} = 4,14 \text{ cm} \quad (e8.18)$$

Senza monta, con  $\delta_i = 0$  lo spostamento totale  $\delta_{tot}$  coincide con quello massimo  $\delta_{max}$

$$\delta_{tot} = \delta_{max} + \delta_i \quad \text{per} \quad \delta_i = 0 \quad \delta_{tot} = \delta_{max}$$

Lo spostamento massimo  $\delta_{max}$  risulta quindi:

$$\delta_{max} = 4,14 \text{ cm}$$

Verifica del limite sullo spostamento massimo  $\delta_{max}$

$$\frac{\delta_{max}}{l} = \frac{4,14}{1200}$$

$$\frac{\delta_{max}}{l} = \frac{1}{290} < \frac{1}{200} \quad \text{Accettabile}$$

Lo spostamento  $\delta_{max}$  rientra nei limiti consentiti

Verifica sullo spostamento dovuto al carico variabile  $\delta_2$

Deve verificarsi che sia rispettata la limitazione

$$\frac{\delta_2}{l} \leq \frac{1}{250}$$

Lo spostamento  $\delta_2$  è la freccia  $f_{D,2}$  provocata dal carico variabile  $Q_1 = 12 \text{ kN}$

L'espressione della freccia è analoga alla (e8.15)

$$f_{D,2} = \frac{19}{6} \cdot \frac{Q_1 L^3}{E J_y} \quad f_{D,2} = \frac{19}{6} \cdot \frac{12 \cdot 300^3}{21000 \cdot 23130}$$

$$f_{D,2} = \delta_2 = 2,1 \text{ cm}$$

Verifica del limite sullo spostamento per il carico variabile  $\delta_2$

$$\frac{\delta_2}{l} = \frac{2,1}{1200}$$

$$\frac{\delta_{max}}{l} = \frac{1}{568} < \frac{1}{250} \quad \text{Accettabile}$$

Lo spostamento  $\delta_2$  rientra nei limiti consentiti

Rientrando nei limiti consentiti sia lo spostamento massimo  $\delta_{max}$  dovuto al carico totale, permanente e variabile, sia allo spostamento  $\delta_2$  dovuto al solo carico variabile, non occorre eseguire una monta sulla trave.

SEGUE  $\longrightarrow$



[Clic per la pagina precedente](#)



[Clic per proseguire](#)



[Clic per tutti i file III parte](#)